QuEChERS-超高效液相色谱-串联质谱法同时测定动物源性食品中 5 种双酰胺类杀虫剂的残留

何旭峰,黄小兰*,肖琦,周祥德 (重庆市万州食品药品检验所,重庆 404100)

摘 要:目的 建立超高效液相色谱-串联质谱法(ultra performance liquid chromatography-tandem mass spectrometry, UPLC-MS/MS)检测猪肉、猪肝、鸭肉、鸡肉和鱼肉等动物源性食品中 5 种双酰胺类杀虫剂(氟苯虫酰胺、氯虫苯甲酰胺、溴氰虫酰胺、四氯虫酰胺、环溴虫酰胺)残留量的分析方法。方法 采用 QuEChERS 前处理技术,样品用乙腈提取,提取液经盐析脱水,吸附剂净化,用 ACQUITY UPLC BEH C_{18} 色谱柱梯度洗脱分离,电喷雾离子源离子化,负离子多反应监测模式检测。结果 5 种双酰胺类杀虫剂在 $2.0\sim50.0$ ng/mL 的质量浓度范围内线性关系良好,相关系数(r)大于等于 0.9983。在 3.0、6.0 和 12.0 µg/kg 3 个添加水平下,5 种双酰胺类杀虫剂的回收率范围为 $79.6\%\sim112.4\%$,相对标准偏差(relative standard deviations, RSDs)为 $0.4\%\sim6.9\%$ (n=6),方法检出限和定量限范围分别为 $0.7\sim1.0$ µg/kg 和 $2.0\sim3.0$ µg/kg。结论 本方法操作简单、灵敏度和准确度高、重现性好,可同时检测动物源性食品中 5 种双酰胺类杀虫剂的残留量,为其日常监管提供技术支持。

关键词: QuEChERS; 超高效液相色谱-串联质谱法; 动物源性食品; 双酰胺类杀虫剂

Simultaneous determination of 5 kinds of bisamide insecticides residues in animal-derived foods by QuEChERS-ultra performance liquid chromatography-tandem mass spectrometry

HE Xu-Feng, HUANG Xiao-Lan*, XIAO Qi, ZHOU Xiang-De

(Chongqing Wanzhou Food and Drug Inspection Institute, Chongqing 404100, China)

ABSTRACT: Objective To establish an method for the determination of the residues of 5 kinds of bisamide insecticides (cyantraniliprole, chlorantraniliprole, tetraclofenac, chlorfenapyr, flubendiamide) in pork, pork liver, duck meat, chicken, fish and other animal-derived foods by ultra performance liquid chromatography-tandem mass spectrometry (UPLC-MS/MS). **Methods** The QuEChERS pretreatment technology was adopted, the samples were extracted with acetonitrile, and the extracts were subjected to salting-out dehydration, adsorbent purification, gradient elution and separation on an ACQUITY UPLC BEH C_{18} column, followed by ionization with an electrospray ion source, and anion multi-reaction monitoring mode detection. **Results** The linear relationships were good within the mass concentration range of 2.0-50.0 ng/mL, and the correlation coefficients (r) were greater than or equal to 0.9983. At the 3 kinds of addition levels of 3.0, 6.0 and 12.0 μg/kg, the recovery rates of the 5 kinds of bisamide insecticides ranged from 79.6% to 112.4%, and the relative standard deviations (RSDs) were 0.4%–6.9% (n=6), and the limits of detection and quantification were 0.7–1.0 μg/kg and 2.0–3.0 μg/kg, respectively. **Conclusion** This method is simple

^{*}通信作者: 黄小兰, 工程师, 主要研究方向为食品加工与安全分析。E-mail: 534832723@qq.com

^{*}Corresponding author: HUANG Xiao-Lan, Engineer, Chongqing Wanzhou Food and Drug Inspection Institute, No.16 Longxi Avenue, Wanzhou District, Chongqing 404100, China. E-mail: 534832723@qq.com

to operate, high in sensitivity and accuracy, good in reproducibility, and can simultaneously detect the residues of 5 kinds of bisamide insecticides in animal-derived foods, thus providing technical support for their daily supervision. **KEY WORDS:** QuEChERS; ultra performance liquid chromatography-tandem mass spectrometry; animal-derived foods; bisamide insecticides

0 引言

双酰胺类杀虫剂是以鱼尼丁受体为靶标的杀虫剂,国际抗性行动委员会将其定义为第 28 类杀虫剂^[1]。目前已上市的双酰胺类杀虫剂主要有: 氟苯虫酰胺、氯虫苯甲酰胺、溴氰虫酰胺、四氯虫酰胺、环溴虫酰胺,其作用机理为激活昆虫鱼尼丁(肌肉)受体,过度释放细胞内钙库中钙离子导致昆虫瘫痪死亡,对大部分鳞翅目、鞘翅目害虫具有快速、长效、广谱的防治作用^[2],被广泛应用于防治稻飞虱、纵卷叶螟、三化螟等引起的虫害,是粮谷类植物常用的杀虫剂^[3]。同时,5种双酰胺类杀虫剂在土壤、水中具有难降解性,容易长时间残留于环境中^[4]。故随着双酰胺类杀虫剂在农业生产中的使用,农药残留一方面可能直接通过粮谷^[5]进入家禽家畜体内,另一方面也可通过水体、土壤进入到水生动物^[6]中,最终通过食物链转移至人体引发潜在的安全健康风险。

目前, 国际食品法典委员会、欧洲联盟、美国和日本 等国际组织和发达国家均对双酰胺类杀虫剂的最大残留限 量(maximum residue limit, MRL)作了严格的规定。在我国, GB 2763—2019《食品安全国家标准 食品中农药最大残留 限量》仅规定了食品中的氟苯虫酰胺、氯虫苯甲酰胺和植 物源性食品中的溴氰虫酰胺的 MRL 值, 而四氯虫酰胺和 环溴虫酰胺还未作规定。在研究对象方面, 国内外主要集 中在果蔬[7-8]、粮谷油料作物[5,9]、土壤和水体等方面[10-12], 未见动物源性食品中同时测定 5 种双酰胺类杀虫剂的报 道。现有标准 SN/T 5221-2019《出口植物源食品中氯虫 苯甲酰胺残留量的测定》、GB 23200.76—2016《食品安全 国家标准 食品中氟苯虫酰胺残留量的测定 液相色谱-质 谱/质谱法》、DB37/T 3991-2020《食品中溴氰虫酰胺残留 量的测定 液相色谱-质谱/质谱法》、DB37/T 3990-2020 《食品中四氯虫酰胺残留量的测定 液相色谱-质谱/质谱 法》也仅针对植物源性食品中双酰胺类杀虫剂制定了检测 方法, 且均为单个项目的独立检验, 即完成一个样品中不 同的双酰胺类杀虫剂需要不同的前处理方法, 存在检验周 期长、试剂 消耗大、检测资源浪费等缺点, 并且仍缺少环 溴虫酰胺的检测方法。因此迫切需要建立同时测定动物源 性食品中5种双酰胺类杀虫剂残留的方法。

超高效液相色谱-串联质谱法(ultra performance liquid chromatography-tandem mass spectrometry, UPLC-MS/MS) 因其较高的灵敏度和定性能力成为食品中农药残留测定的

首选^[7-8,13-14]。目前主要的前处理方法有液-液萃取法^[15-16]、固相萃取法(solid phase extraction, SPE)^[17-18]和基质固相分散萃取技术(QuEChERS)^[7]等,相较于前 2 种前处理方式,QuEChERS 处理方法具有溶剂消耗少、适用性好、重现性好、处理快、成本低等优点。因此,本研究采用 QuEChERS 前处理技术,结合 UPLC-MS/MS 法建立了同时测定动物源性食品中 5 种双酰胺类杀虫剂残留的方法,旨在为研究双酰胺类杀虫剂在动物体内的残留降解奠定基础,也为动物源性食品中此类农药 MRL 值的制定和日常监控提供技术支持。

1 材料与方法

1.1 材料与试剂

环溴虫酰胺标准物质(纯度 96.6%)、氟苯虫酰胺标准物质(纯度 96.6%)(德国 Dr. Ehrenstorfer 公司); 氯虫苯甲酰胺标准物质(纯度 97.5%, 上海道垚测试技术有限公司); 溴氰虫酰胺标准物质(纯度 98.0%)、 C_{18} 固相萃取填料 (40 μ m)、N-丙基乙二胺(primary secondary amine, PSA, 40 μ m)(上海安谱实验科技股份有限公司); 四氯虫酰胺标准物质(纯度 97.8%, 北京曼哈格生物科技有限公司); 乙腈、甲醇(色谱纯, 德国 Merck 公司); 无水硫酸钠、无水硫酸镁、氯化钠(分析纯, 天津市大茂化学试剂厂); 实验用水为 Milli-Q 系统纯化水。

1.2 仪器与设备

UltiMate3000 型超高效液相色谱仪、TSQ Quantum Access Max 型质谱仪配有电喷雾离子源(美国热电公司); Milli-Q 超纯水机(美国 Millipore 公司); 3K15 型高速离心机 (德国 Sigma 公司); SQP 型电子天平(德国 Sartorius 公司); MS3 basic 型涡旋混合器、T25.VLTRA 型高速均质器(德国 IKA 公司)。

1.3 实验方法

1.3.1 标准溶液的配制

分别准确称取适量氟苯虫酰胺、氯虫苯甲酰胺、溴氰虫酰胺、四氯虫酰胺、环溴虫酰胺标准物质于 5 个 10 mL容量瓶中,用甲醇溶解并定容至刻度,得质量浓度为1.0 mg/mL的标准储备液,贮存于棕色玻璃瓶中,-20 ℃下避光保存。

精密吸取 5 种标准储备液各 0.10 mL 于 10 mL 容量瓶中, 用甲醇溶解并定容至刻度, 得到 10.0 μg/mL 混合标准

溶液, -20 ℃下避光保存。测试前用乙腈稀释成质量浓度为 2.0、5.0、10.0、20.0、30.0、50.0 ng/mL 标准工作液系列。 1.3.2 样品前处理

取待测样品组织 500 g,用组织粉碎机制成肉糜状后,装入洁净的自封袋,密封,保存于-20 °C下。称取肉糜样品 2 g(精确至 0.0001 g)于 50 mL 离心管中,先加入 2 mL 水,涡旋混匀,再加入 10.0 mL 乙腈涡旋混合,8000 r/min 均质提取 5 min 后,向离心管中加入 1 g 无水硫酸镁和 2 g 氯化钠,涡旋混合 2 min,再以 6000 r/min 离心 5 min,收集上清液,待净化。取样品提取液 6.0 mL 转入盛有 150 mg PSA、150 mg C_{18} 和 400 mg 无水硫酸镁的离心管中,涡旋混合 1 min,4000 r/min 离心 3 min,取上清液 5.0 mL 于 45 °C氮吹浓缩至约 0.5 mL,加乙腈复溶至 1.0 mL,过 0.22 μ m 有机滤膜,供超高效液相色谱-串联质谱仪分析。

1.3.3 仪器条件

(1)色谱条件

色谱柱: ACQUITY UPLC BEH C₁₈ (100 mm×2.1 mm, 1.7 μm); 柱温: 40 °C; 进样量: 2 μL; 流速: 0.2 mL/min; 流 动相: A 相为乙腈; B 相为 5 mmol/L 乙酸铵溶液; 梯度洗脱程序为: 0~0.1 min, 20% A; 0.1~7.5 min, 20%~90% A; 7.5~9.0 min, 90% A; 9.0~9.1 min, 90%~20% A; 9.1~10.0 min, 20% A。

(2)质谱条件

电喷雾离子源(electrospray ion source, ESI), 负离子模式; 电离电压 3000 V; 扫描方式为多反应监测(multiple reaction monitoring, MRM)模式; 鞘气流量 30 Arb; 辅助气

流量 10 Arb; 温度 300 °C; 碰撞气为高纯氩气, 流量为 1.5 Arb; 毛细管温度 350 °C。

在负离子模式下,对透镜电压、碰撞能量和离子对进 行优化,5种化合物质谱参数见表1。

1.4 数据处理

利用 TracFinder 3.3(美国热电公司)完成图谱采集和数据处理。采用 Excel 2016 软件进行统计分析和绘图。

2 结果与分析

2.1 样品前处理条件优化

2.1.1 提取剂的选择

农残提取的常用溶剂有丙酮、正己烷、石油醚、乙腈、二氯甲烷等[19],乙腈的使用更为普遍,并且乙腈对 5 种双酰胺类杀虫剂具有较强的溶解能力,而对油脂、色素和蛋白质类物质的溶解能力较弱^[8],这使其成为本研究提取溶剂的首选。在此基础上,本研究采用空白猪肉和猪肝为基质,在 12.0 µg/kg 的添加水平下比较了酸性乙腈(含 0.1%甲酸)和纯乙腈的提取效率,见图 1。结果发现,采用酸性乙腈为提取剂时,猪肉中溴氰虫酰胺、氯虫苯甲酰胺、氟苯虫酰胺 3 者的响应略高于猪肝基质;而采用乙腈为提取剂时,猪肝中环溴虫酰胺、氟苯虫酰胺的响应略高,其余杀虫剂基本一致。总的来说,5 种杀虫剂在两种提取剂中均能获得良好的回收率,在 83.0%和 110.9%之间,表明酸性乙腈和纯乙腈均可作为 5 种双酰胺类杀虫剂的提取溶剂。本研究为了和流动相一致,故选取了乙腈作为提取剂。

表 1 质谱参数
Table 1 Mass spectrometric parameters

	Table 1 Mass spectrometric parameters								
中文名	中文名 保留时间/min 母离子(m/z)		产物离子(m/z)	透镜电压/V	碰撞能量/V				
溴氰虫酰胺	6.47	472.8	203.9*	54	16				
突	0.47	4/2.8	201.9	34	16				
氯虫苯甲酰胺	7.03	481.8	203.9*	47	15				
	7.03	481.8	201.9	47	16				
四氯虫酰胺	7.87	535.7	201.9*	51	14				
四承玉凯双	7.87	333.7	203.9	31	14				
环溴虫酰胺	8.24	599.7	256.0*	65	16				
外展虽既胺	8.24	399.7	257.8	03	17				
氟苯虫酰胺	iil Dir		254.0*	81	28				
	8.42	680.7	274.0	01	17				

注: *为定量离子。

2.1.2 脱水剂的选择

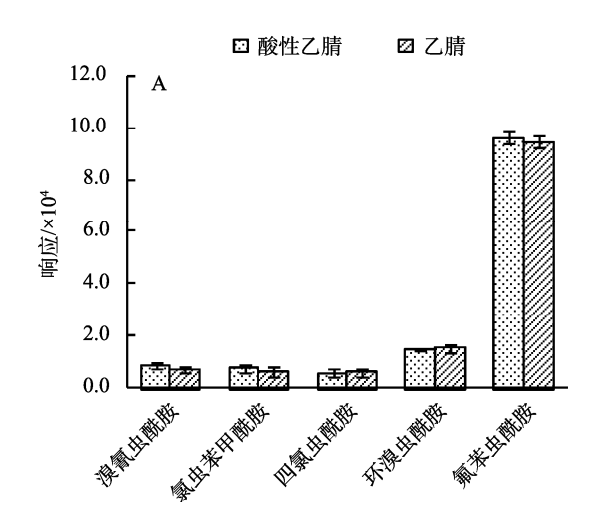
本研究为了使样品肉糜更好地分散,与提取剂充分接触, 需先向样品中加入适量水,避免直接加入乙腈使样品结块而 影响提取。提取后需分离提取液中的水分, 本研究比较了无 水硫酸镁、无水硫酸钠、氯化钠的脱水效果, 结果如表 2 所 示。无水硫酸钠的除水能力较弱、添加量在2~5g时、仅可除 去提取液中约 50%的水分, 而 5 种双酰胺类杀虫剂的脂溶性 较好, 易溶于乙腈层中, 剩余水分提高了水溶性杂质的含量, 故应尽可能地除去水分才有利于排除干扰。无水硫酸镁和氯 化钠的除水能力较强, 能使提取液分层良好, 添加量在 1.2 g 时即可除去提取液中约90%的水,无水硫酸镁溶解时会放热, 适当地升温有利于杀虫剂的提取, 但大量使用时, 发热严重, 过高的温度无法保证杀虫剂的稳定提取。氯化钠使用量超过 1.5 g 时, 水层就已饱和, 继续提高氯化钠的用量作用不大, 考虑到不同样品的含水量存在一定差异, 为保证脱水效果, 氯化钠应适当过量。综上所述, 确定同时使用无水硫酸镁和 氯化钠为除水剂, 且用量分别为1g和2g。

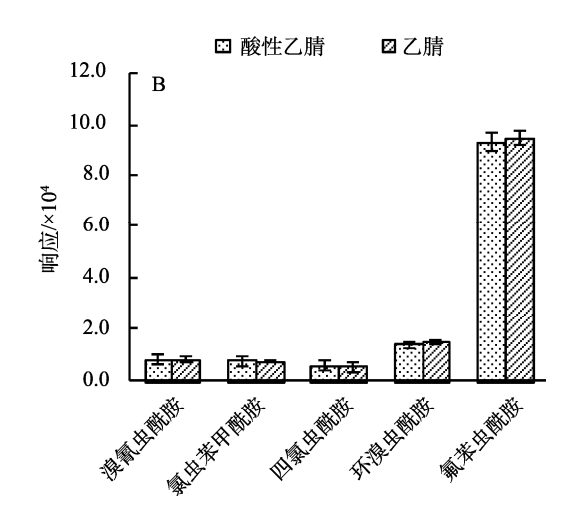
2.1.3 净化吸附剂的选择

QuEChERS 方法常用 PSA 除去糖类、脂肪酸和亲脂

性色素, C_{18} 则可有效除去脂肪和脂类等非极性有机物 $^{[20]}$ 。动物源性食品基质较为复杂, 为获得理想的净化效果, 本研究同时使用 PSA 和 C_{18} 2 种吸附剂。

以空白猪肉为基质,在 15.0 μg/kg 添加水平下,制备样品提取液,于 10 mL 离心管中分别加入 75、150 和 225 mg 的 PSA 和 C₁₈,比较不同吸附剂在不同用量下对样品提取液的净化效果和对 5 种杀虫剂吸附情况,结果如图 2 所示。随着 PSA 和 C₁₈用量的提高,净化效果不断增强,但回收率呈下降趋势。由图 2 可知 PSA 对溴氰虫酰胺和氯虫苯甲酰胺吸附能力更大,C₁₈更易吸附另外 3 种。在此基础上,通过回收实验考察了不同比例吸附剂混用对目标物的影响,结果见表 3。结果发现,当 PSA 和 C₁₈用量分别达到 175 mg 时,溴氰虫酰胺、氯虫苯甲酰胺和氟苯虫酰胺的回收率均低于 80%。因此,为了保证所有化合物回收率大于 80%且净化效果良好,最终确定 PSA 和 C₁₈的用量分别为 150 mg。比较提取液净化前后的选择离子流图(见图 3),干扰峰的数量和响应均有下降,净化效果明显。





注: A: 猪肉; B: 猪肝。

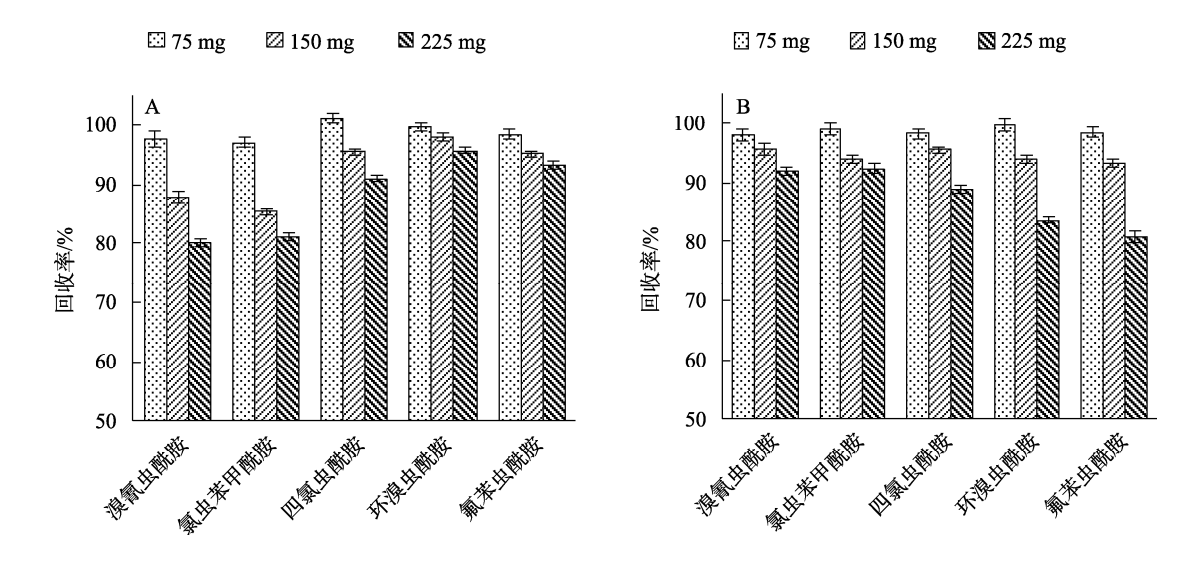
图 1 不同提取剂对 5 种化合物提取效率的影响(n=3)

Fig. 1 Effects of different extractants on extraction efficiencies of 5 kinds of compounds (n=3)

表 2 不同质量脱水剂对提取液的脱水效率(n=3)

Table 2 Dehydration efficiencies of different quality of dehydrating agent for extracting solution (n=3)

无水硫	瓦酸钠	无水	流酸镁	氯化钠		
添加量/g	添加量/g 脱水率/%		添加量/g 脱水率/%		脱水率/%	
1	28	0.8	25	0.8	28	
2	49	1	49	1	55	
3	49	1.2	87	1.2	91	
4	48	1.4	91	1.4	95	
5	49	1.6	95	1.6	95	



注: A: PSA; B: C₁₈。 图 2 不同用量的吸附剂对回收率的影响(n=3)

Fig.2 Effects of different dosages of adsorbent on recovery rates (n=3)

表 3 添加浓度为 15.0 μg/kg 的猪肉中使用不同比例吸附剂的平均回收率及相对标准偏差(relative standard deviations, RSDs)(n=3)
Table 3 Average recoveries and RSDs of adsorbents with different proportions in pork with a concentration of 15.0 μg/kg (n=3)

9		• • • • • • • • • • • • • • • • • • • •						• • • • •		
PSA 和 C ₁₈	SA和C ₁₈ 溴氰虫酰胺		氯虫苯甲酰胺		四氯虫酰胺		环溴虫酰胺		氟苯虫酰胺	
用量/mg	回收率/%	RSDs/%	回收率/%	RSDs/%	回收率/%	RSDs/%	回收率/%	RSDs/%	回收率/%	RSDs/%
75/75	95.8	4.3	96.1	1.7	99.4	2.9	99.4	4.2	97.0	1.2
75/150	93.6	3.1	91.3	3.5	96.6	3.2	93.7	2.7	92.0	2.3
75/175	89.9	4.2	89.7	1.3	90.1	2.1	83.3	0.6	79.6	4.3
150/75	86.3	4.7	84.5	3.7	93.8	3.9	97.8	1.2	93.8	0.9
150/150	84.3	3.3	80.3	2.5	91.2	1.5	92.2	3.9	88.9	2.4
150/175	81.0	0.9	78.9	4.1	85.0	1.2	82.0	4.4	76.9	1.7
175/75	89.9	5.3	89.7	0.6	90.1	2.7	83.3	3.5	79.6	5.2
175/150	81.0	5.3	78.9	1.8	85.0	3.5	82.0	2.7	76.9	1.1
175/175	73.7	4.7	75.0	3.2	81.1	4.5	80.1	3.5	75.5	1.5

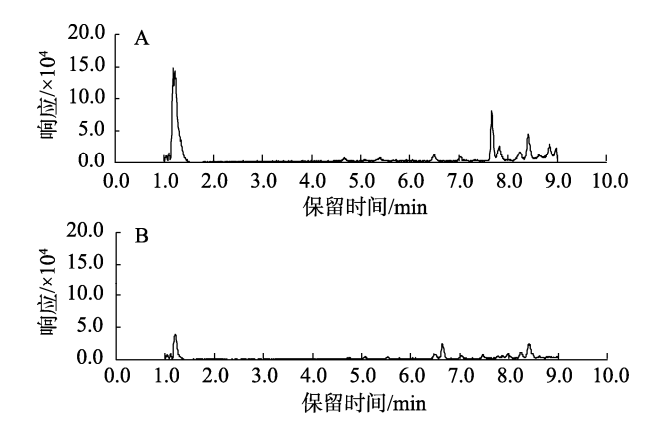


图 3 提取液净化前(A)和经 PSA、C₁₈各 150 mg 净化后(B)的总 离子流图

Fig. 3 Total ion chromatograms of the extract before purification (A) and after purification with 150 mg PSA and 150 mg $C_{18}(B)$

2.2 液相色谱条件的优化

2.2.1 流动相体系优化

甲醇和乙腈是色谱检测中常用的有机系流动相。本研

究比较了甲醇-水、乙腈-水作为流动相的效果,结果发现,采用乙腈作为流动相时,目标物的出峰时间适中、峰宽较小、灵敏度较高、系统工作压力也较小。同时,本研究又比较了乙腈-水、乙腈-0.1%甲酸水和乙腈-5 mmol/L 乙酸铵溶液,结果见图 4。由图 4 可见,乙酸铵存在的情况下目标物峰形均有所改善,保留时间更为稳定。考虑乙酸铵溶液可提供稳定的酸碱环境并有利于目标物的离子化,最终确定流动相为乙腈-5 mmol/L 乙酸铵溶液。

2.2.2 色谱柱选择

本研究比较了 ACQUITY UPLC BEH C_{18} (100 mm× 2.1 mm, 1.7 μ m, 后称 C_{18} 柱)和 ACQUITY UPLC HSS T3 (100 mm×2.1 mm, 1.7 μ m, 后称 T3 柱)2 种色谱柱的灵敏度 和分离效率,结果见图 5。由图可见, C_{18} 柱的峰形更尖锐,灵敏度更高,这主要是因为 C_{18} 柱拥有 17%的含碳量(T3 柱的含碳量为 4.7%),对弱极性和非极性化合物的保留能力更强,所测杀虫剂极性较弱,出峰时间靠后,此时流动相中有机相的比例较高,流动相洗脱能力也更强,使目标峰的峰宽更小,获得了更尖锐的峰,优化梯度洗脱程序后,10 min 即可完成

分析, 因此选择 ACQUITY UPLC BEH C₁₈ 为分析色谱柱。

2.3 质谱条件的优化

质谱条件优化中,母离子主要考虑[M-H]、[M+H][†]、[M+HH₄][†]。超高效液相色谱仪、进样蠕动泵和质谱仪使用三通连接,在有流动相参与的情况下分别在正、负离子模式下优化各个化合物,所用标准溶液质量浓度均为 5 μg/mL,优化结果见图 6。由图 6 可知,在正离子模式下,除氟苯虫酰胺的[M+H][†]离子响应较低外,其他 4 个化合物的[M+H][†]离子响应均能到达 10⁶,也较为稳定;5 个化合物的[M+HH₄][†]离子响应较弱,其中氟苯虫酰胺的[M+HH₄][†]离子响应过低致难以分辨。在负离子模式下,5 个化合物的[M-H]^{*}离子信号稳定,总体响应强度稍弱于正离子模式,但负模式下噪声更小、干扰较少,目标信号的信噪比更高,所以最终确定在负模式下建立质谱方法。同时优化了透镜电压,碰撞能量,针对每个母离子选取其响应强度较高的 2 个碎片离子为特征子离子。5 种双酰胺类杀虫剂提取离子流图见图 5。

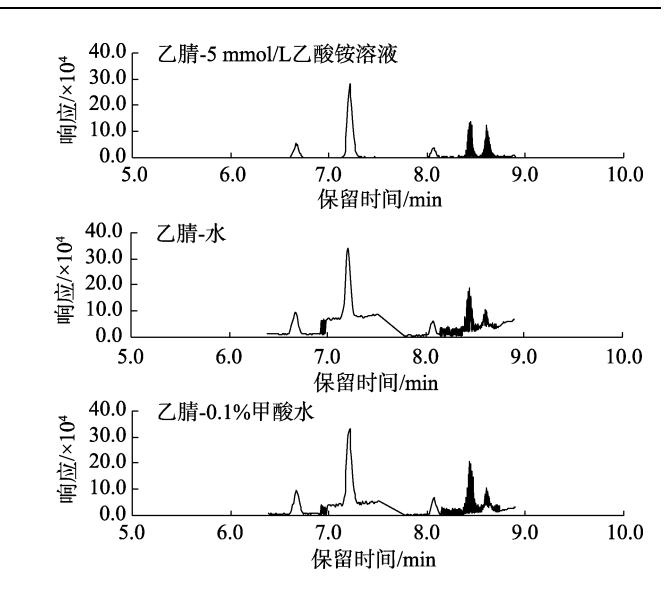
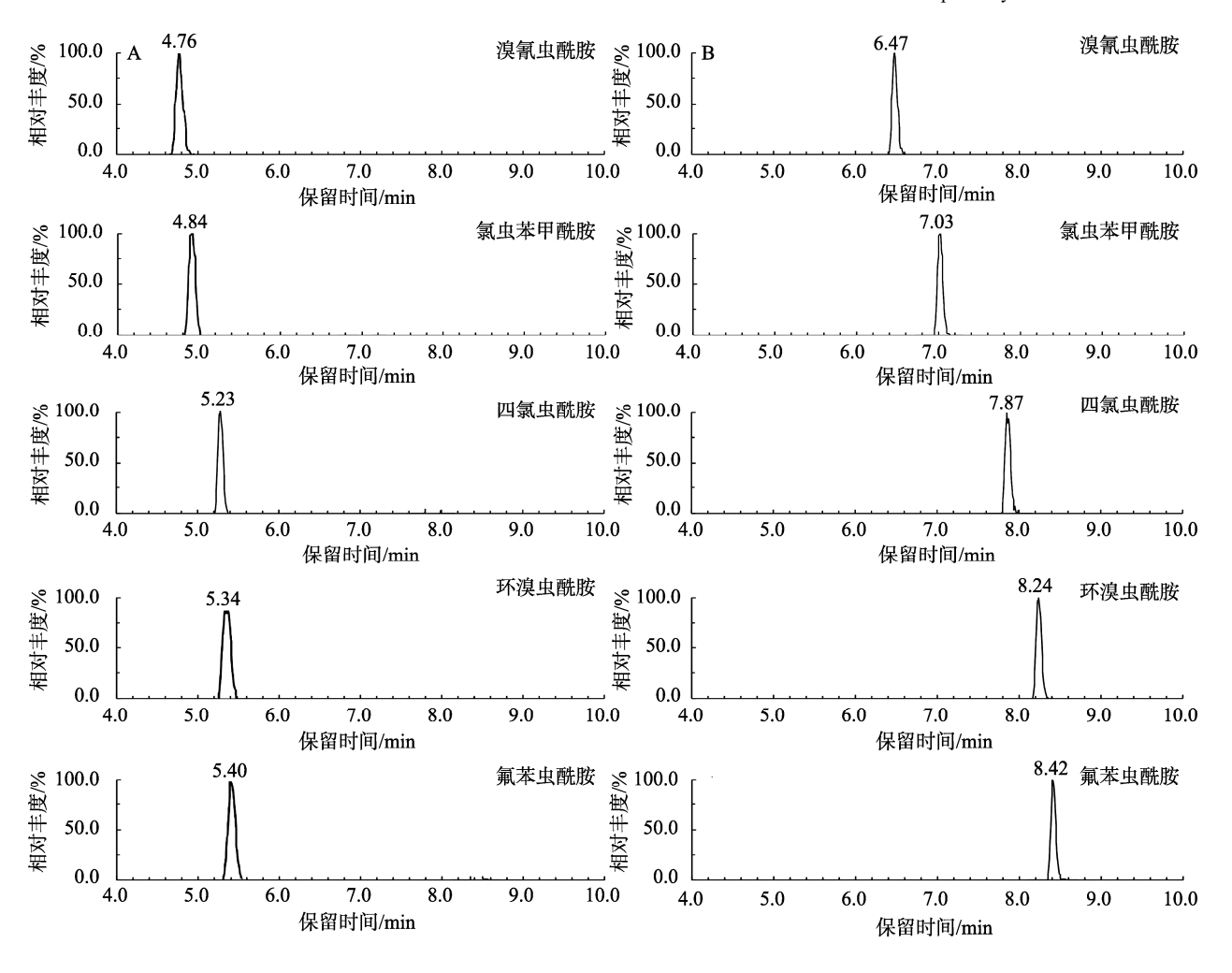


图 4 不同流动相系统 5 种化合物的选择离子流图 Fig.4 Selective ion flow diagrams of 5 kinds of compounds in different mobile phase systems



注: A: T3 柱; B: C₁₈柱。 图 5 不同色谱柱 5 种化合物的提取离子流图

Fig.5 Extraction ion flow diagrams of 5 kinds of compounds on different chromatographic columns

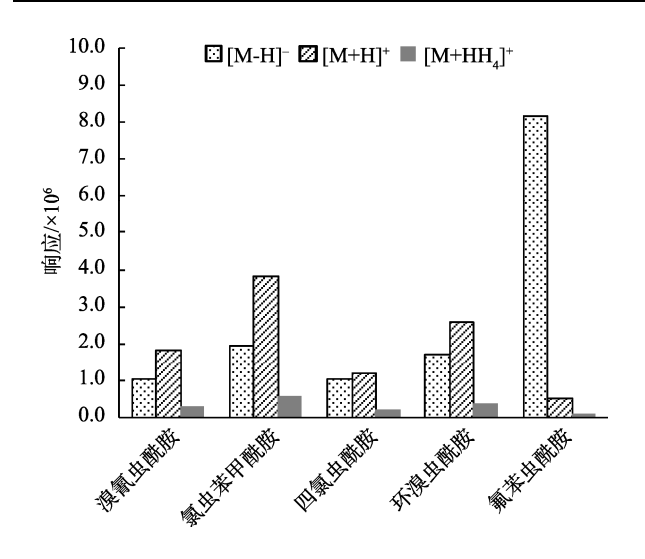


图 6 化合物母离子的响应强度 Fig.6 Response intensity of the compound parent ions

2.4 线性范围和基质效应

利用 1.3.2 和 1.3.3 节所述方法,选取鸡肉、鸭肉、鱼肉、猪肉、猪肝制备空白基质溶液,分别配制成质量浓度为 2.0、5.0、10.0、20.0、30.0、50.0 ng/mL 基质匹配标准溶液系列。同时,以初始流动相为溶剂配制相同质量浓度的溶剂标准溶液系列。将以上标准溶液系列上机测试,并绘制标准曲线,相关系数(r)和回归方程如表 4 所示。结果表明,5 种双酰胺类杀虫剂在 2.0~50.0 ng/mL 的质量浓度范围内线性关系良好,相关系数均大于等于 0.9983。

在超高效液相色谱-串联质谱检测过程中,共洗脱物质影响目标物离子化的现象即为基质效应,在质谱测定中普遍存在^[21],它对分析有较大干扰,影响检测结果的准确性。为了考察基质效应,本研究通过基质匹配标准工作曲线斜率(*M*_{martix})和以初始流动相为溶剂的标准工作曲线斜率(*M*_{solvent})来计算基质效应(matrix effect, ME)。

ME (%)=
$$(M_{\text{martix}}/M_{\text{solvent}}-1)\times 100\%$$

若 ME 值为正值,则为基质增强效应;若 ME 为负值,则为基质抑制效应^[22]。当 ME 的绝对值为 0~20%时,表现为可忽略的弱基质效应^[23],当 ME 的绝对值大于 20%,就需要减弱消除基质效应。由表 4 可知,本方法中同时存在基质增强和抑制的情况,但 ME 的绝对值在 0.1%~16.0%,基质效应较弱,表现为可忽略的弱基质效应。

2.5 检出限、定量限、回收率和精密度

称取空白基质 2 g(精确至 0.0001 g)于 50 mL 离心管中, 以 10.0 μg/kg 的浓度水平加入适量混合标准溶液, 按 1.3.2 和 1.3.3 节进行样品处理, 上机测定记录各目标化合物的信噪比, 以 3 倍信噪比计算检出限(limit of detection, LOD), 以 10 倍信 噪比对应浓度作为定量限(limit of quantification, LOQ)。结果 显示: 溴氰虫酰胺、氯虫苯甲酰胺、四氯虫酰胺、环溴虫酰 胺的 LODs 和 LOQs 分别为 1.0 和 3.0 μg/kg, 氟苯虫酰胺的 LOD 和 LOQ 分别为 0.7 和 2.0 μg/kg。以鸡肉、鱼肉、鸭肉、猪肉和猪肝为空白样品进行加标回收实验考察方法的准确度。设置低(L)、中(M)、高(H) 3 个添加水平的回收实验,添加水平依次为 3.0、6.0、12.0 μg/kg,每个添加水平平行 6 份,按照"1.3"中的方法处理测定,计算平均回收率,结果见表 5。5 种杀虫剂的平均回收率为 79.6%~112.4%,RSDs≤6.9%,满足 GB/T 27404—2008《实验室质量控制规范食品理化检测》的要求。

表 4 5 种化合物在 6 种基质中的线性方程、相关系数及基质效应(n=3)

Table 4 Linear equations, correlation coefficients and matrix effects of 5 kinds of compounds in 6 kinds of matrices (n=3)

effects of 5 kinds of compounds in 6 kinds of matrices $(n=3)$										
基质	化合物	线性方程	r	ME/%						
	溴氰虫酰胺	<i>Y</i> =6482 <i>X</i> +4288	0.9998	_						
流动相	氯虫苯甲酰胺	<i>Y</i> =4554 <i>X</i> +2579	0.9994	_						
	四氯虫酰胺	<i>Y</i> =2948 <i>X</i> -1476	0.9992	_						
	环溴虫酰胺	<i>Y</i> =7105 <i>X</i> +1165	0.9995	_						
	氟苯虫酰胺	<i>Y</i> =29280 <i>X</i> +1130	0.9999	_						
	溴氰虫酰胺	<i>Y</i> =7405 <i>X</i> +1751	0.9995	14.2						
	氯虫苯甲酰胺	<i>Y</i> =4702 <i>X</i> +2386	0.9993	3.2						
鸡肉	四氯虫酰胺	<i>Y</i> =3122 <i>X</i> -1581	0.9991	5.9						
	环溴虫酰胺	<i>Y</i> =7155 <i>X</i> +516.1	0.9997	0.7						
	氟苯虫酰胺	<i>Y</i> =29240 <i>X</i> +1667	0.9997	-0.1						
	溴氰虫酰胺	<i>Y</i> =7005 <i>X</i> +1908	0.9995	8.1						
	氯虫苯甲酰胺	<i>Y</i> =4482 <i>X</i> +2158	0.9994	-1.6						
鸭肉	四氯虫酰胺	<i>Y</i> =3229 <i>X</i> -1004	0.9992	9.5						
	环溴虫酰胺	<i>Y</i> =6857 <i>X</i> +1301	0.9993	-3.5						
	氟苯虫酰胺	<i>Y</i> =30581 <i>X</i> +1207	0.9997	4.4						
	溴氰虫酰胺	<i>Y</i> =6608 <i>X</i> +3765	0.9992	1.9						
	氯虫苯甲酰胺	<i>Y</i> =4424 <i>X</i> +2876	0.9997	-2.9						
鱼肉	四氯虫酰胺	<i>Y</i> =3245 <i>X</i> +1958	0.9994	10.1						
	环溴虫酰胺	<i>Y</i> =6679 <i>X</i> +3708	0.9990	-6.0						
	氟苯虫酰胺	<i>Y</i> =28860 <i>X</i> +7059	0.9996	-1.4						
	溴氰虫酰胺	<i>Y</i> =6298 <i>X</i> +4854	0.9990	-2.8						
	氯虫苯甲酰胺	<i>Y</i> =3931 <i>X</i> +4528	0.9990	-13.7						
猪肉	四氯虫酰胺	<i>Y</i> =2667 <i>X</i> +2173	0.9991	-9.5						
	环溴虫酰胺	<i>Y</i> =6384 <i>X</i> +5233	0.9998	-10.1						
	氟苯虫酰胺	<i>Y</i> =26170 <i>X</i> +13740	0.9995	-10.6						
	溴氰虫酰胺	<i>Y</i> =6204 <i>X</i> +5802	0.9983	-4.3						
	氯虫苯甲酰胺	<i>Y</i> =3827 <i>X</i> +3837	0.9991	-16.0						
猪肝	四氯虫酰胺	<i>Y</i> =2838 <i>X</i> +487.9	0.9997	-3.7						
	环溴虫酰胺	<i>Y</i> =6076 <i>X</i> +2788	0.9989	-14.5						
	氟苯虫酰胺	<i>Y</i> =26470 <i>X</i> +16630	0.9996	-9.6						

注: Y为峰面积; X为目标物质量浓度/(ng/mL); —表示计算结果为0。

表 5 不同基质中 5 种双酰胺类杀虫剂的平均回收率和相对标准偏差(n=6)

Table 5	Average recoveries and RSDs of 5 kinds of diamide insecticide	s in different substrates (n=6)

	添加级别 - /(µg/kg)	溴氰虫	溴氰虫酰胺		氯虫苯甲酰胺		四氯虫酰胺		酰胺	氟苯虫酰胺	
基质		平均 回收率/%	RSDs/%								
	3.0	106.7	1.7	90.0	6.9	90.1	3.9	99.7	2.0	88.0	2.9
鸡肉	6.0	99.0	3.5	92.3	1.5	85.9	1.5	93.8	2.2	88.4	3.2
	12.0	88.1	1.3	80.2	2.1	80.7	1.2	88.5	4.8	83.8	2.1
	3.0	112.4	1.6	104.5	4.6	93.1	6.9	98.0	5.9	112.0	3.2
鱼肉	6.0	105.8	2.4	96.7	3.9	94.7	4.4	102.7	5.2	111.9	4.3
	12.0	96.2	3.5	83.3	1.8	91.3	2.4	100.5	1.1	112.2	2.3
	3.0	99.0	2.7	101.0	1.7	88.1	6.3	95.7	1.5	87.6	4.2
鸭肉	6.0	100.1	3.5	94.4	2.7	82.6	5.3	97.2	6.9	86.4	2.7
	12.0	85.5	4.5	85.2	2.3	79.6	4.7	89.1	1.5	83.3	0.6
	3.0	94.2	5.7	96.3	4.7	84.7	1.2	88.1	6.7	88.7	1.8
猪肉	6.0	90.0	1.2	86.6	3.3	86.1	5.6	92.2	2.5	90.3	3.2
	12.0	88.3	2.3	88.0	0.9	83.0	6.2	86.8	4.1	86.5	0.4
	3.0	106.3	4.3	97.6	2.4	97.5	3.8	104.0	0.6	110.9	4.9
猪肝	6.0	98.3	3.1	94.5	1.7	89.4	2.3	94.3	3.9	95.7	4.1
	12.0	90.2	4.2	85.2	3.9	85.4	0.5	93.5	1.8	104.1	1.0

2.6 实际样品检测

从重庆市万州本地超市和农贸市场购买了 5 份鸡肉、4 份鱼肉、4 份猪肉、3 份猪肝、2 份鸭肉样品,采用本研究建立的方法进行测定,每份样品平行测定 3 次。检测结果显示: 1 份鱼肉中检出氯虫苯甲酰胺,残留量为(4.10±0.25) μg/kg (n=3),其余样品均未检出双酰胺类杀虫剂残留。参照 GB 2763—2019 中对哺乳动物和禽类的限量最小值(0.01 mg/kg),检出的鱼肉样品符合规定。

3 讨论与结论

本研究用乙腈提取样品后经 QuEChERS 净化处理, 超高效液相色谱-串联质谱仪分析,外标法定量,建立了同 时测定动物源性食品中 5 种双酰胺类杀虫剂残留的方法。 该法具有溶剂消耗少、成本低、处理效率高、准确度高、 重现性好等特点。同时本研究选取鸡鸭肉、猪肉、鱼肉和 猪肝等动物源性样本作为检测基质,覆盖面较广,基本代 表了动物源性食品品种,适用于动物源性食品中 5 种双酰 胺类杀虫剂残留的快速测定。

参考文献

[1] 郑雪松, 赖添财, 时立波, 等. 双酰胺类杀虫剂应用现状[J]. 农药, 2012, 51(8): 554-557, 580.

ZHENG XS, LAI TC, SHI LB, et al. Current situation on application of

novel diamide insecticides [J]. Agrochemicals, 2012, 51(8): 554-557, 580.

- [2] 段劲生, 王梅, 董旭, 等. 氯虫苯甲酰胺在水稻及稻田环境中的残留动态[J]. 植物保护, 2016, 42(1): 93-98.
 - DUAN JS, WANG M, DONG X, *et al.* Residue and degradation of chlorantraniliprole in rice and the environment [J]. Plant Prot, 2016, 42(1): 93–98.
- [3] 严明, 柏亚罗. 双酰胺类等五大类热点农药的市场概况及产品研发[J]. 现代农药, 2019, 18(1): 7-15.
 - YAN M, BO YL. Market overview and product R & D on five hot pesticide sectors including diamide class [J]. Mod Agrochem, 2019, 18(1): 7–15.
- [4] 陈朗, 袁善奎, 姜辉, 等. 双酰胺类杀虫剂环境风险问题浅析[J]. 农药科学与管理, 2019, 40(3): 19–26.
 - CHEN L, YUAN SK, JIANG H, *et al.* A brief analysis on the environmental risk of diamide insecticides [J]. Pestic Sci Admin, 2019, 40(3): 19–26.
- [5] 马婧玮, 马欢, 安莉, 等. QuEChERS-高效液相色谱-串联质谱法测定 主要谷物和油料作物中氯虫苯甲酰胺的残留[J]. 农药学学报, 2018, 20(1): 129-134.
 - MA JW, MA H, AN L, *et al.* QuEChERS-determination of chlorantraniliprole residues in primary grain and oilseed crops by high performance liquid chromatography-tandem mass spectrometry [J]. Chin J Pestic Sci, 2018, 20(1): 129–134.
- [6] 林涛,游泳,林荣华,等. 三种双酰胺类杀虫剂制剂对大型溞生长发育和繁殖的影响[J]. 生态毒理学报, 2016, 11(1): 306-312.
 - LIN T, YOU Y, LIN RH, et al. Effect of three diamide Insecticide preparations on development and re-production of Daphnia magna straus

- [J]. Asian J Ecotoxicol, 2016, 11(1): 306-312.
- [7] 贺敏, 景子伟, 贾春虹, 等. 超高效液相色谱-串联质谱法检测番茄和 甘蓝中溴虫氟苯双酰胺的残留[J]. 农药, 2019, 58(4): 279–281, 284. HE M, JING ZW, JIA CH, et al. Simultaneous determination of broflanilide residues in tomato and cabbage by UPLC-MS/MS [J]. Agrochemicals, 2019, 58(4): 279–281, 284.
- [8] 孙程鹏, 许炳雯, 高娜, 等. Sin-QuEChERS 结合超高效液相色谱串联质谱法同时检测果蔬中 5 种双酰胺类杀虫剂[J]. 食品安全质量检测学报, 2020, 11(6): 1784–1791.
 - SUN CP, SUN BW, GAO N, et al. Simultaneous determination of 5 kinds of diamide insecticides in fruits and vegetables by Sin-QuEChERS with ultra performance liquid chromatography tandem mass spectrometry [J]. J Food Saf Qual, 2020, 11(6): 1784–1791.
- [9] 黄美玲, 林毅楠, 周杨, 等. 液相色谱串联质谱法测定油料作物中3种双酰胺类杀虫剂残留量[J]. 食品安全质量检测学报,2020,11(15):5099-5106.
 - HUANG ML, LIN YN, ZHOU Y, *et al.* Determination of 3 kinds of diamide insecticides in oil crops by liquid chromatography-tandem mass spectrometry [J]. J Food Saf Qual, 2020, 11(15): 5099–5106.
- [10] 王盛男, 王岩, 李雯雯, 等. 气相色谱法测定土壤中酰胺类除草剂[J]. 分析实验室, 2021, 40(1): 30-33.
 - WANG SN, WANG Y, LI WW, et al. Determination of amide herbicides in soil by gas chromatography [J]. Chin J Anal Lab, 2021, 40(1): 30–33.
- [11] 黄丽,邓毅书,浦恩堂,等. HPLC 测定氯虫苯甲酰胺在烟草和土壤中的残留与消解动态[J]. 西南农业学报, 2020, 33(2): 395–400.

 HUANG L, DENG YS, PU ENT, *et al.* Residue detection and digestion dynamics of chlorantraniliprole in tobacco plants and soil by HPLC [J].

Southwest Chin J Agric Sci, 2020, 33(2): 395-400.

- [12] 吕磊, 彭婕, 甘金华, 等. 分散固相萃取-液质联用法测定稻渔综合种 养环境中四种农药残留[J]. 环境化学, 2019, 38(11): 2443–2448. LV L, PENG J, GAN JH, *et al.* Determination of four pesticide residues in rice-aquaculture integrated cultivation environment using dispersion solid phase extraction-high performance liquid chromatography-tandem mass spectromentry method [J]. Environ Chem, 2019, 38(11): 2443–2448.
- [13] AASMA B, NAZIA R, SOFIA K, et al. Method optimization and validation for the routine analysis of multi-class pesticide residues in Kinnow Mandarin and fruit quality evaluation [J]. Food Chem, 2022. https://doi.org/10.1016/j.foodchem.2021.130914
- [14] MARIA C, DESPO LC, AGAPIOS A. Method validation for the determination of 314 pesticide residues using tandem MS systems (GC-MS/MS and LC-MS/MS) in raisins: Focus on risk exposure assessment and respective processing factors in real samples (A pilot survey) [J]. Food Chem, 2021. https://doi.org/10.1016/j.foodchem.2021. 129964
- [15] 陈峰, 张宝锋, 何平, 等. 液液萃取-程序升温大体积进样-气相色谱串 联质谱法测定地表水中 25 种痕量有机氯农药[J]. 分析试验室, 2020, 39(8): 969-973.
 - CHEN F, ZHANG BF, HE P, et al. Trace analysis of 25 organochlorine pesticides in surface water by liquid liquid extraction-programmed temperature vaponization and large volume injection-gas chromatography tandem mass spectrometry [J]. Chin J Anal Lab, 2020, 39(8): 969–973.
- [16] 聂宏骞, 杨路平, 毛书青, 等. 分散液液微萃取-气相色谱-质谱法测定 茶饮料中 5 种农药残留[J]. 食品科技, 2020, 45(7): 338–343. NIE HQ, YANG LP, MAO SQ, *et al.* Determination of five kinds of

pesticides residue in tea beverages by dispersive liquid-liquid

- microextraction combined with GC-MS [J]. Food Sci Technol, 2020, 45(7): 338-343.
- [17] 张云,郑敬峰,李耀平,等. 液相色谱-串联质谱法测定动物源性食品中氯虫苯甲酰胺和氟虫酰胺残留量[J]. 食品科学,2013,34(10):272-275.
 - ZHANG Y, ZHENG JF, LI YP, *et al.* LC-MS/MS determination of chloranteraniliprole and flubendiamide residues in animal-derived foodstuffs [J]. Food Sci, 2013, 34(10): 272–275.
- [18] 曾艳, 郎红, 杨巧慧, 等. 固相萃取-GC/LC-MS/MS 测定茶叶中 79 种农药残留[J]. 茶叶科学, 2019, 39(5): 576-586.
 - ZHEN Y, LANG H, YANG QH, *et al.* Determination of 79 pesticide residues in tea by solid phase extraction with GC-MS/MS and LC-MS/MS [J]. J Tea Sci, 2019, 39(5): 576–586.
- [19] 李雯雯, 王岩, 王盛男, 等. 植物源性食品中有机磷农药残留检测前处理技术的研究进展[J]. 食品安全质量检测学报, 2020, 11(6): 1852-1858
 - LI WW, WANG Y, WANG SN, et al. Research progress of pretreatment technology for detection of organophosphorus pesticide residues in plant-derived foods [J]. J Food Saf Qual, 2020, 11(6): 1852–1858.
- [20] 曹雪琴, 杨飞, 陈国通, 等. 超高效液相色谱-串联质谱法同时测定水果中十种保鲜剂残留量[J]. 食品科学, 2020, 1(4): 319–324.

 CAO XQ, YANG F, CHEN GT, et al. Determination of 10 preservatives in fruits by ultra high performance liquid chromatography tandem mass spectrometry [J]. Food Sci, 2020, 1(4): 319–324.
- [21] 刘晓云, 陈笑艳, 钟大放. 液相色谱-串联质谱生物分析方法的基质效应和对策[J]. 质谱学报, 2017, 38(4): 388–399.

 LIU XY, CHEN XY, ZHONG DF. Matrix effects and countermeasure of liquid chromatography-tandem mass spectrometry in bioanalysis [J]. J Chin Mass Spectrom Soc, 2017, 38(4): 388–399.
- [22] 乐渊, 刘春华, 吴南村, 等. 多壁碳纳米管净化-液相色谱串联质谱法 测定瓜菜中双酰胺类杀虫剂[J]. 食品安全质量检测学报, 2019, 10(10): 2961-2966
 - LE Y, LIU CH, WU NC, et al. Determination of diamide insecticide residues in melons and vegetables using multiwailed carbon nanotubes purification coupled with ultra performance liquid chromatography tandem mass spectrometry [J]. J Food Saf Qual, 2019, 10(10): 2961–2966.
- [23] HE ZY, CHEN SS, WANG L, et al. Multiresidue analysis of 213 pesticides in leek and garlic using QuEChERS-based method and gas chromatography-triple quadrupole mass spectrometry [J]. Anal Bioanal Chem, 2015, 407(9): 2637–2643.

(责任编辑:张晓寒郑丽)

作者简介



何旭峰, 工程师, 主要研究方向为食 品质量检测与安全分析。

E-mail: 182401266@qq.com



黄小兰,工程师,主要研究方向为食 品加工与安全分析。

E-mail: 534832723@qq.com